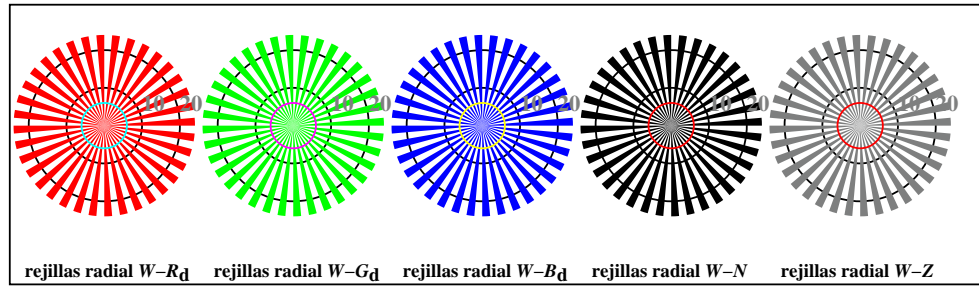
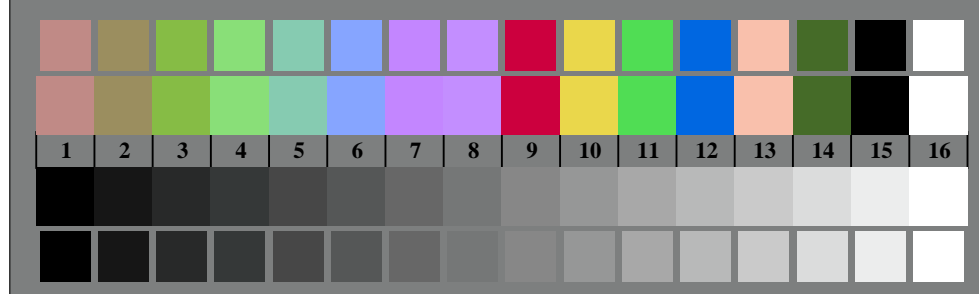




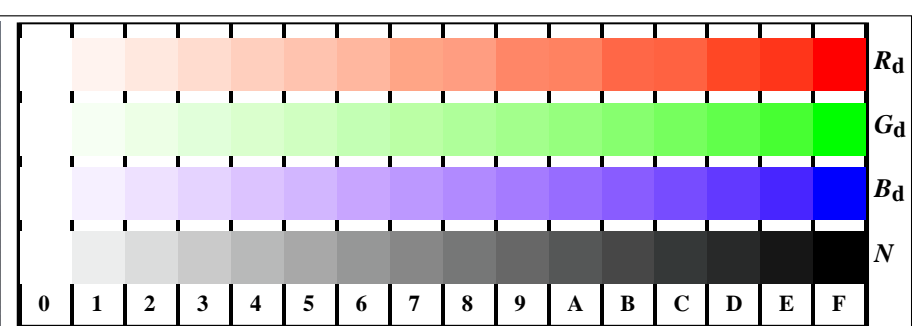
TS800-3, Fig. D1Wdd: motivos florales, CIE 14 colores del test y 2 + 16 pasos de gris (sf); PS operator 3 colorimage



TS800-5, Fig. D2Wdd: rejillas radial W-Rd; W-Gd; W-Bd; W-N; PS operator $rgb \rightarrow rgb_{dd}$ setrgbcolor



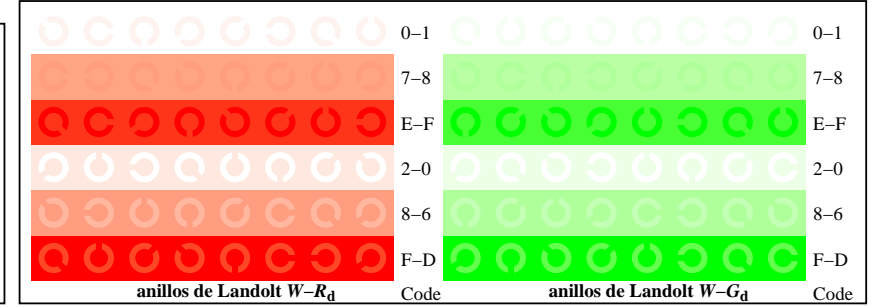
TS800-7, Fig. D3Wdd: CIE 14 colores del test y 2 + 16 pasos de gris (sf); $rgb/cmym0 \rightarrow rgb_{dd}$ setrgbcolor



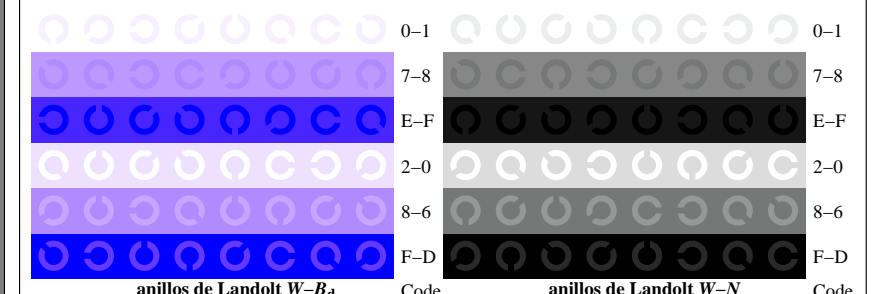
TS801-1, Fig. D4Wdd: 16 equidistantes pasos W-Rd; W-Gd; W-Bd; W-N; $rgb/cmym0 \rightarrow rgb_{dd}$ setrgbcolor

+-.:					lmno				pqrs					tuw			
xyz;					hijk				lmno					pqr			
tuvw					defg				hijk					lmno			
pqrs					!abc				defg					xyz;			
lmno					+-.:				tuvw					defg			
hijk					xyz;				!abc					lmno			
defg					+-.:				tuvw					xyz;			
!abc					xyz;				defg					defg			
10					10				N					N			
									6								

TS801-3, Fig. D5Wdd: codigo y Landolt anillosN; R_d; G_d; B_d; Z; PS operator $rgb \rightarrow rgb_{dd}$ setrgbcolor



TS801-5, Fig. D6Wdd: anillos de Landolt W-Rd; W-Gd; PS operator $rgb \rightarrow rgb_{dd}$ setrgbcolor



TS801-7, Fig. D7Wdd: anillos de Landolt W-Bd; W-N; PS operator $rgb \rightarrow rgb_{dd}$ setrgbcolor